

14.1

## Моделирование стационарных и нестационарных режимов движения заряда в однородной холстейновской цепочке в постоянном электрическом поле

© А.Н. Коршунова, В.Д. Лахно

Институт математических проблем биологии РАН — филиал Федерального исследовательского центра „Институт прикладной математики им. М.В. Келдыша РАН“, Пущино, Московская область, Россия  
e-mail: alya@imprb.ru

(Поступило в Редакцию 13 января 2018 г.)

Проведено численное моделирование движения заряда в холстейновской молекулярной цепочке в постоянном электрическом поле. Показано, что при выбранных параметрах цепочки существует возможность равномерного движения заряда в постоянном электрическом поле на очень большие расстояния, на сотни тысяч сайтов. Движение заряда с постоянной скоростью возможно для небольших значений напряженности электрического поля. С увеличением значения напряженности электрического поля заряд переходит в колебательный режим движения с блоховскими осцилляциями. Показано хорошее соответствие теоретической и численной зависимостей скорости движения заряда с постоянной скоростью от напряженности электрического поля.

DOI: 10.21883/0000000000

### Введение

Изучение движения зарядов в одномерных молекулярных цепочках является проблемой, актуальность которой связана с возможностью их использования в качестве проводов в нанoeлектронных устройствах. Носителями тока в одномерных цепочках являются самозахваченные электронные состояния, которые имеют вид поляронных образований. Вопрос о возможности переноса энергии и заряда локализованными возбуждениями — солитонами и поляронами — в таких биологических молекулах, как белки, был поставлен Давыдовым [1–4]. В связи с развитием молекулярной наноэлектроники, основной задачей которой является конструирование электронных устройств на основе биологических молекул [5,6], все больший интерес вызывают проблемы транспорта заряда в таких протяженных молекулах как ДНК [7–15].

В настоящей работе приведены результаты численного моделирования движения заряда в полинуклеотидной холстейновской молекулярной цепочке в постоянном электрическом поле. Ранее в работе [16] этот вопрос был рассмотрен одним из авторов в случае, когда цепочка считалась непрерывной. Очевидно, полученные в [16] результаты могут быть непригодны в случае дискретной цепочки. Более того, в дискретном случае могут реализовываться такие режимы движения, которые отсутствуют в непрерывном случае.

### Динамическая модель дискретной холстейновской цепочки

В используемой ниже модели полинуклеотидная цепочка рассматривается состоящей из  $N$ -сайтов. Каждый

сайт представляет нуклеотидную пару, которая рассматривается как гармонический осциллятор [17]. Для моделирования квантовой динамики частицы в цепочке из  $N$ -нуклеотидных пар будем исходить из гамильтониана Холстейна, впервые рассмотревшего цепочку, каждый сайт которой представляет двухатомную молекулу [17,18]:

$$\hat{H} = - \sum_n^N v(|n\rangle\langle n-1| + |n\rangle\langle n+1|) + \sum_n^N \alpha q_n |n\rangle\langle n| + \sum_n^N M \dot{q}_n^2 / 2 + \sum_n^N k q_n^2 / 2 + \sum_n^N e \mathcal{E} n |n\rangle\langle n|, \quad (1)$$

где  $v$  — матричный элемент перехода заряда между соседними сайтами (нуклеотидными парами),  $\alpha$  — константа взаимодействия заряда со смещениями  $q_n$ ,  $M$  — эффективная масса сайта,  $k$  — упругая постоянная.

Уравнения движения для гамильтониана  $\hat{H}$  приводят к следующей системе дифференциальных уравнений:

$$i \hbar \dot{b}_n = -v(b_{n-1} + b_{n+1}) + \alpha q_n b_n + e \mathcal{E} n b_n, \quad (2)$$

$$M \dot{q}_n = -\gamma \dot{q}_n - k q_n - \alpha |b_n|^2, \quad (3)$$

где  $b_n$  — амплитуда вероятности нахождения заряда на  $n$ -м сайте,  $\sum_n |b_n|^2 = 1$ . В классические уравнения движения (3) введена диссипация, определяемая коэффициентом трения  $\gamma$ .

Уравнения (2) являются уравнениями Шредингера для амплитуд вероятности  $b_n$ , описывающими эволюцию частицы в деформируемой цепочке, где  $\hbar = h/2\pi$ ,  $h$  — постоянная Планка, а уравнение (3) представляет классическое уравнение движения, описывающее динамику нуклеотидных пар с учетом диссипации.

Перейдем в уравнениях (2), (3) к безразмерным переменным с помощью соотношений

$$\begin{aligned} \eta &= \tau v / \hbar, \quad \omega^2 = \tau^2 K / M, \\ \omega' &= \tau \gamma / M, \quad q_n = \beta u_n, \quad E = \mathcal{E} e a \tau / \hbar, \\ \kappa \omega^2 &= \tau^3 (\alpha)^2 / M \hbar, \quad \beta = \tau^2 \alpha / M, \quad t = \tau \tilde{t}, \end{aligned} \quad (4)$$

где  $\tau$  — произвольный масштаб времени, связывающий время  $t$  и безразмерную переменную  $\tilde{t}$ .

В безразмерных переменных (4) уравнения (2), (3) примут вид

$$\begin{aligned} i \frac{db_n}{d\tilde{t}} &= -\eta (b_{n+1} + b_{n-1}) + \kappa \omega^2 u_n b_n + E n b_n, \\ \frac{d^2 u_n}{d\tilde{t}^2} &= -\omega_n' \frac{du_n}{d\tilde{t}} - \omega_n^2 u_n - |b_n|^2. \end{aligned} \quad (5)$$

Введенная таким образом модель является простейшей моделью, описывающей динамику заряженной частицы в полинуклеотидной цепочке, в явном виде учитывающей диссипацию в рассматриваемой системе.

### Моделирование равномерного движения заряда в постоянном электрическом поле

Очевидно, что моделирование динамики частицы даже в однородной  $(G)_n$  цепочке является задачей многопараметрической, что сразу же приводит к необходимости большого количества расчетов для различных значений параметров цепочки. Подбор параметров системы для моделирования конкретного режима поведения заряда в электрическом поле осуществляется как в соответствии с полученными результатами аналитического исследования системы в континуальном пределе [19], так и в результате проведенных численных исследований. Выбирая модельные параметры цепочек, мы можем исследовать движение заряда, характер распределения заряда со значительно большей вычислительной скоростью, чем для реальных ДНК цепочек.

Для моделирования движения заряда в электрическом поле были выбраны следующие значения безразмерных параметров:  $\kappa = 1$ ,  $\eta = 1.276$ ,  $\omega = 1$ . Для выбранных значений параметров варьируем значения трения в цепочке  $\omega'$  и значения напряженности электрического поля  $E$ . Вычисления выполнялись стандартным методом Рунге–Кутты четвертого порядка. Для моделирования равномерного движения заряда в электрическом поле мы поместили в цепочку в начальный момент времени заряд, соответствующий стационарному решению уравнений (2), (3) в отсутствие внешнего поля, а именно начальные значения  $|b_n(0)|$  были выбраны в виде обратного гиперболического косинуса

$$|b_n(0)| = \frac{\sqrt{2}}{4} \sqrt{\frac{\kappa}{|\eta|}} \operatorname{ch}^{-1} \left( \frac{\kappa(n - n_0)}{4|\eta|} \right), \quad (6)$$

$$u_n^0 = |b_n(0)|^2 / \omega_n^2, \quad du_n^0 / d\tilde{t} = 0.$$

Определим характерный размер распределения заряда в цепочке как

$$d(\tilde{t}) = \sum |b_n(\tilde{t})|^2 / \sum |b_n(\tilde{t})|^4 = 1 / \sum |b_n(\tilde{t})|^4. \quad (7)$$

При выбранных значениях параметров цепочки характерный размер полярона в цепочке определяется выражением  $\lim_{\tilde{t} \rightarrow \infty} d(\tilde{t}) \approx 15$ . А именно при таких параметрах цепочки полярон широкий, располагается на достаточно большом количестве сайтов. Значение  $n_0$  (центр начального распределения заряда) в (6) выбиралось так, чтобы в начале вычислений полярон был достаточно далеко от концов цепочки. Аналогично и длина цепочки подбирается так, чтобы и в конце вычислений полярон не подошел слишком близко к концу цепочки. Поле включается „мгновенно“ в начальный момент времени.

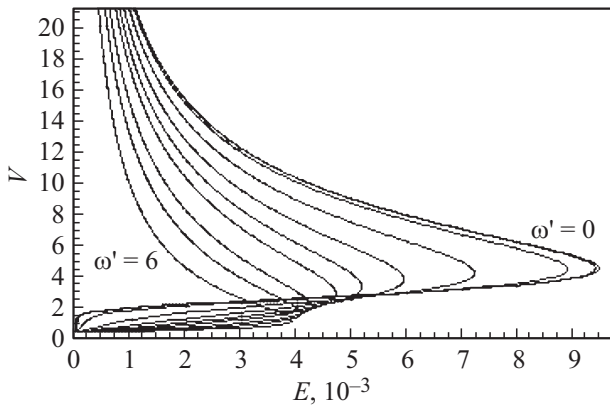
Вполне закономерно возникает вопрос, при каких значениях напряженности электрического поля  $E$  существует возможность равномерного движения заряда в цепочке для выбранных значений параметров. В работе [19] подробно рассмотрен вопрос о соотношении между равновесной скоростью полярона  $V = va/\tau$  и напряженностью электрического поля в континуальном пределе. Для недемпфированного движения нуклеотидных пар, когда трение не слишком велико  $\omega > \omega'/2$ , в [19] получено следующее соотношение между равновесной скоростью полярона  $V$  и напряженностью электрического поля  $E$ :

$$\begin{aligned} E &= \kappa \omega^2 \omega' V I, \quad E = \mathcal{E} \frac{e a \tau}{\hbar}, \\ I &= \frac{2\eta}{\kappa V^4} \int_0^\infty \frac{x^4 / \operatorname{sh}^2 x}{(x^2 + c_1) + c_2^2} dx, \\ c_1 &= \left( \frac{2\pi\eta}{\kappa V} \right)^2 \left( \frac{\omega'^2}{2} - \omega^2 \right), \\ c_2^2 &= \left( \frac{2\pi\eta}{\kappa V} \right)^4 \omega'^2 \left( \omega^2 - \left( \frac{\omega'}{2} \right)^2 \right). \end{aligned} \quad (8)$$

В случае демпфированного движения нуклеотидных пар (для  $\omega'/2 > \omega$ ) величина  $I$ , согласно [19], определяется соотношением

$$\begin{aligned} I &= \frac{2\eta}{\kappa V^4} \int_0^\infty \frac{x^4 / \operatorname{sh}^2 x}{(x^2 + c_1^2)(x^2 + c_2^2)} dx, \\ c_1 &= \frac{2\pi\eta}{\kappa V} \left( \frac{\omega'}{2} - \sqrt{\left( \frac{\omega'}{2} \right)^2 - \omega^2} \right), \\ c_2 &= \frac{2\pi\eta}{\kappa V} \left( \frac{\omega'^2}{2} + \sqrt{\left( \frac{\omega'}{2} \right)^2 - \omega^2} \right). \end{aligned} \quad (9)$$

Предельный случай, когда трение отсутствует, был рассмотрен в работе [20]. В настоящей работе мы рассмотрим зависимость скорости полярона  $V$  от напряженности электрического поля  $E$  для различных значений трения  $\omega'$ .



**Рис. 1.** Зависимость скорости полярона  $V$  от напряженности электрического поля  $E$  при  $\kappa = 1$  для различных значений параметра  $\omega'$  ( $\omega' = 6, 4, 3, 2, 1.5, 1, 0.5, 0.1, 0.01, 0$ );  $\eta = 1.276$ ,  $\omega = 1$ .

На рис. 1 приведены зависимости скорости солитона от напряженности электрического поля  $E$  для различных значений параметра  $\omega'$  при  $\kappa = 1$ , определяемые (8), (9).

Четыре левые кривые, представленные на рис. 1, соответствуют демпфированному движению нуклеотидных пар (9):  $\omega'/2 > \omega$ , а именно  $\omega' = 6, 4, 3, 2$ . Следующие пять кривых соответствуют недемпфированному движению нуклеотидных пар (8):  $\omega'/2 < \omega$ ,  $\omega' = 1.5, 1, 0.5, 0.1, 0.01$ . Рассмотренный в [20] предельный случай  $\omega' = 0$  соответствует крайней правой кривой на рис. 1, а предельному случаю  $\omega' = \infty$  соответствует ось ординат. Согласно рис. 1, равномерное движение солитона возможно только в интервале  $0 < E < E_{\max}(\omega')$ . На каждой кривой ветвь, для которой  $dV/dE = V'_E > 0$ , соответствует устойчивому движению солитона, а ветвь с  $V'_E < 0$  — неустойчивому движению. Из (8), (9) следует, что наличие в системе трения приводит к появлению омического участка, т. е. линейной зависимости  $V(E)$  при малых  $E$  на устойчивых ветвях кривых  $V(E)$ .

На рис. 2 показаны графики функции

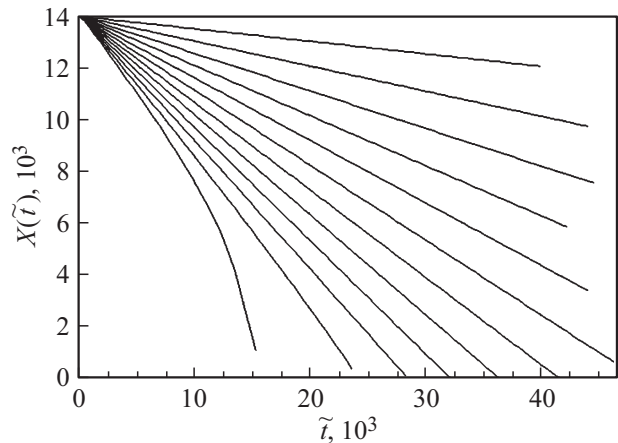
$$X(\tilde{t}) = \sum_n |b_n(\tilde{t})|^2 n, \quad (10)$$

описывающие движение центра масс частицы. Представленные графики демонстрируют линейную зависимость от  $\tilde{t}$  почти для всех значений напряженности электрического поля  $E$  (рис. 2). Хорошо видно, что самый левый график функции  $X(\tilde{t})$  для  $E = 0.0012$  ( $\mathcal{E} = 2.256 \cdot 10^3$  V/cm) на рис. 2 заметно отклоняется от прямой линии, это означает, что заряд переходит в колебательный режим движения. Таким образом, показано, что для значений поля  $E > 0.0011$  при выбранных параметрах цепочки, равномерного движения заряда не существует.

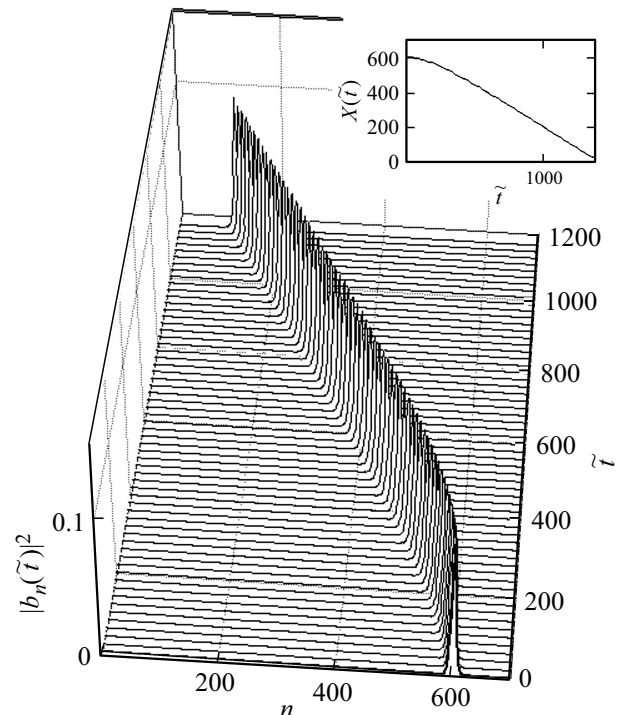
На рис. 3 показаны графики функций  $|b_n(\tilde{t})|$  и  $X(\tilde{t})$  для напряженности электрического поля  $E = 0.001$ . В начальный момент времени полярон находится на сайте  $c$

номером  $n_0 = 601$ . Это пример равномерного движения полярона по цепочке. Так же представленному на рис. 3 примеру соответствует третий слева график на рис. 2, тоже соответствующий значению  $E = 0.001$ .

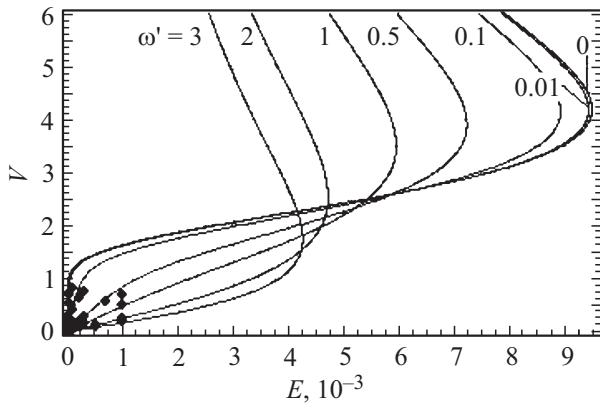
На рис. 4 и 5 изображены участки зависимости скорости солитона  $V$  от внешнего электрического поля  $E$ , которые дают детальное представление устойчивого движения солитона ( $dV/dE = V'_E > 0$ ). Рис. 5 представ-



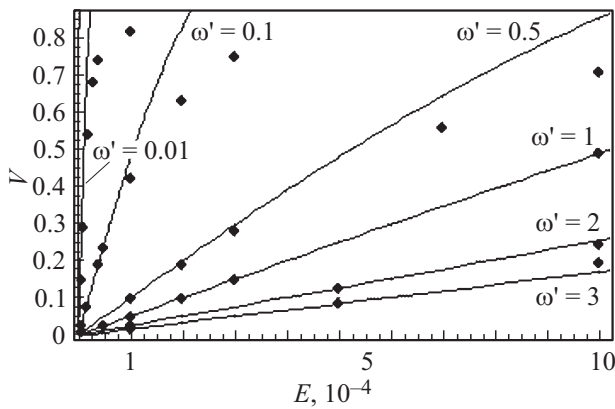
**Рис. 2.** Графики функции  $X(\tilde{t})$  при  $\kappa = 1$ ,  $\eta = 1.276$ ,  $\omega = 1$ ,  $\omega' = 1$  и значениях напряженности электрического поля  $E = 0.0001, 0.0002, 0.0003, \dots, 0.0012$  для (безразмерного) времени  $\tilde{t} = 47000$ . Длина цепочки  $N = 15001$  сайтов. Верхний график соответствует значению  $E = 0.0001$ .



**Рис. 3.** Графики функций  $|b_n(\tilde{t})|^2$  и  $X(\tilde{t})$  при  $\kappa = 1$ ,  $\eta = 1.276$ ,  $\omega = 1$ ,  $\omega' = 1$  и значениях напряженности электрического поля  $E = 0.001$  для (безразмерного) времени  $\tilde{t} = 1200$ . Длина цепочки  $N = 701$  сайтов.



**Рис. 4.** Графики зависимости скорости солитона  $V$  от напряженности электрического поля  $E$  при  $\kappa = 1$ ,  $\omega' = 3, 2, 1, 0.5, 0.1, 0.01, 0$ ,  $\eta = 1.276$ ,  $\omega = 1$ , соответствующие устойчивому движению солитона (при  $dV/dE = V'_E > 0$ ).



**Рис. 5.** Сравнение „теоретической“ (—) (8), (9) и численной (●) скоростей солитона  $V$  от напряженности электрического поля  $E$  при  $\kappa = 1$ ,  $\omega' = 3, 2, 1, 0.5, 0.1, 0.01, 0$ ,  $\eta = 1.276$ ,  $\omega = 1$  для участков линейной зависимости  $V(E)$ .

ляет собой увеличенную часть рис. 4. Из приведенных графиков видно, что область линейной зависимости расширяется с ростом величины  $\omega'$ . При  $\omega' \gtrsim 1$  (для  $\kappa = 1$ ) область линейной зависимости скорости солитона от поля простирается вплоть до величины критического значения электрического поля, при котором равномерное движение солитона становится невозможным. В этом случае вплоть до очень больших напряженностей электрического поля закон Ома выполняется с высокой точностью.

На рис. 4 представлено сравнение численной (●) и „теоретической“ скоростей солитона  $V$  от напряженности электрического поля  $E$ . Заметим, что на этом рисунке предельному случаю  $\omega' = 0$  соответствует крайняя левая кривая. Согласно теоретическим выводам, следующим из рис. 1 и 4, равномерное движение заряда возможно только в интервале  $0 < E < E_{\max}(\omega')$ . На представленных графиках точка  $E_{\max}(\omega')$  соответствует точке перегиба кривой  $V(E)$ . Численные же эксперименты по-

казывают, что этот интервал  $0 < E < E_{\max - \text{numerical}}(\omega')$  значительно меньше, чем  $0 < E < E_{\max}(\omega')$ , и для  $E > E_{\max - \text{numerical}}(\omega')$  равномерного движения заряда уже не наблюдается (рис. 2).

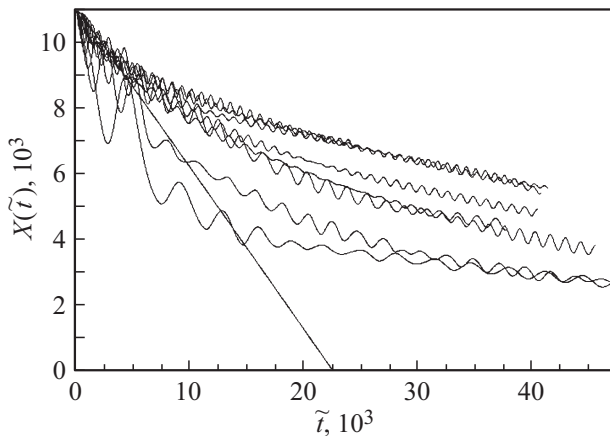
### Моделирование неравномерного движения заряда в постоянном электрическом поле

Вычисления показывают, что для  $E > E_{\max - \text{numerical}}(\omega')$  (так же и для  $E > E_{\max}(\omega')$ ) в начале движения заряд испытывает блоховские осцилляции как целое, затем заряд теряет свою первоначальную форму. Чем больше значение  $E$  и чем больше оно превосходит  $E_{\max - \text{numerical}}(\omega')$ , тем быстрее начальное распределение (в виде обратного гиперболического косинуса вида (6)) теряет свою первоначальную форму. Далее заряд движется по направлению поля, совершая колебания, период которых близок к периоду блоховских осцилляций  $T_{BL} = 2\pi/E$ . Никаких особенностей в характере движения частицы в поле при „переходе“  $E$  через  $E_{\max}(\omega')$  не происходит.

Как и в описанном выше случае моделирования равномерного движения заряда в электрическом поле, для моделирования неравномерного движения мы помещали в цепочку в начальный момент времени заряд, соответствующий стационарному решению уравнений (2), (3) в отсутствие внешнего поля. Начальные значения  $|b_n(0)|$  тоже были выбраны в виде обратного гиперболического косинуса вида (6). Но в данном случае были выбраны большие значения напряженности электрического поля  $E$ .

На рис. 6 представлены графики функции  $X(\tilde{t})$  для значений напряженности электрического поля  $E$ , начиная со значения  $E = 0.001$ . Этому значению  $E = 0.001$  на рис. 6 соответствует единственный график в виде прямой линии, что указывает на равномерное движение заряда по цепочке. Все остальные графики на рис. 6 указывают на колебательный режим движения заряда по цепочке. Период блоховских осцилляций для  $E = 0.001$  равен  $T_{BL} = 2\pi/E \approx 6283$ . Из чего следует, что график для  $E = 0.001$  показан за время, соответствующее примерно 3.6 блоховским периодам. То есть мы видим, что этот график действительно указывает на равномерное движение, а не является частью графика при колебательном движении полярона. Заметим, что на рис. 2 тоже есть график, соответствующий  $E = 0.001$ , это третий график слева и он показан за время  $\tilde{t} \approx 28\,000$ , что равно примерно 4.5 блоховских периодов.

На графиках рис. 6, соответствующих колебательному режиму движения, хорошо видно, что с увеличением значения напряженности электрического поля период колебаний уменьшается и всегда примерно равен  $T_{BL} = 2\pi/E$ . Обратим внимание на график функции  $X(\tilde{t})$  для  $E = 0.002$  на рис. 6, это самый нижний график, не считая графика для  $E = 0.001$ . Его вид для  $\tilde{t} > 10\,000$



**Рис. 6.** Графики функции  $X(\tilde{t})$  при  $\kappa = 1$ ,  $\eta = 1.276$ ,  $\omega = 1$ ,  $\omega' = 1$  и значениях напряженности электрического поля  $E = 0.001, 0.002, 0.003, \dots, 0.008$  для (безразмерного) времени  $\tilde{t} = 47\,000$ . Длина цепочки  $N = 12\,001$  сайтов.

некорректен в том смысле, что заряд уже начал отражаться от левого края цепочки, и это хорошо видно на графике. Кроме того, при колебательном режиме движения, если в начальный момент времени в движении участвует заряд в целом, как в данном случае, то центр масс заряда смещается на максимальную блоховскую амплитуду  $A_{BL} = 4\eta/E$ . Для  $E = 0.002$  максимальная блоховская амплитуда  $A_{BL} = 4\eta/E \approx 2500$ , а на графике мы видим, что центр массы полярона сместился сразу на 4000 сайтов. На самом деле для этого значения напряженности электрического поля  $E = 0.002$  начальный полярон при мгновенном включении электрического поля движется почти равномерно, слегка оседая по высоте, и, только пройдя примерно 1500, целиком входит в блоховские осцилляции. Только начиная со значения электрического поля  $E = 0.005$  полярон после начала движения сразу уходит на максимальную блоховскую амплитуду  $A_{BL} = 4\eta/E$ .

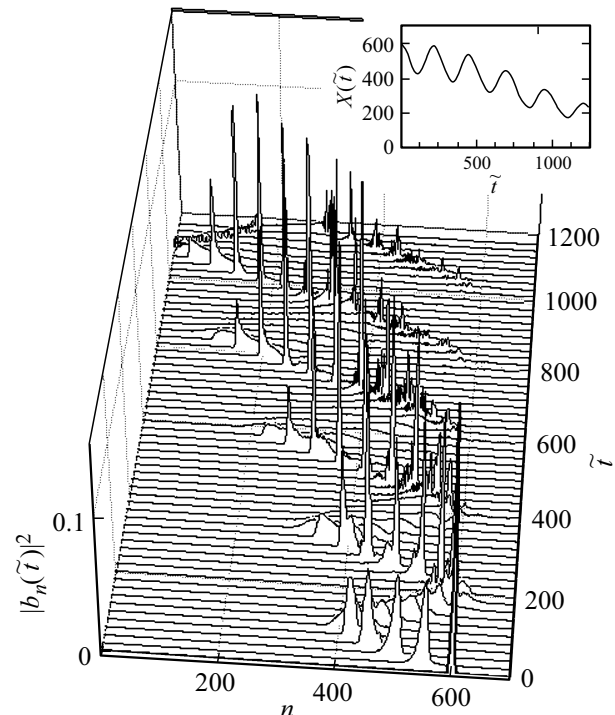
На рис. 7 показан пример движения полярона в короткой цепочке длиной  $N = 701$  для большого значения напряженности электрического поля  $E = 0.03$ . Период блоховских осцилляций для  $E = 0.03$  равен  $T_{BL} = 2\pi/E \approx 209$ , максимальная блоховская амплитуда  $A_{BL} = 4\eta/E \approx 170$ . Начальный полярон вида (6) имеет характерный размер примерно 15 и высоту около 0.1. При отсутствии электрического поля такое начальное поляронное состояние практически сохраняет свою форму и не сдвигается из своего начального положения как угодно долго, так как выбрана цепочка с большим трением. Заметим, что при отсутствии трения или при очень маленьком трении в цепочке полярон сохранит свое начальное положение только в случае, когда он находится в центре цепочки [21,22]. Поскольку выбрана цепочка с большим трением и начальный полярон не сдвигается из начального положения при отсутствии поля, то при мгновенном включении поля в процессе

первой осцилляции заряд локализуется в пределах примерно одной максимальной блоховской амплитуды по направлению поля.

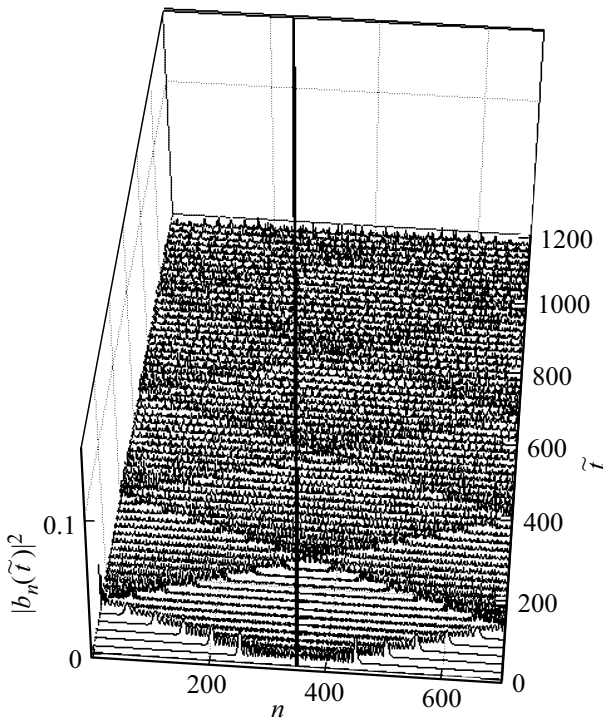
Графики функций  $|b_n(\tilde{t})|^2$  наглядно демонстрируют, как начальный полярон вида (6) быстро разваливается, и, совершая блоховские осцилляции, движется по направлению поля в цепочке. Также на рис. 7 хорошо заметно, как в ходе последней по времени пятой осцилляции заряд отразился от конца цепочки, а не от границы, обусловленной полем, как в предыдущих осцилляциях.

Характер движения заряда в электрическом поле сильно зависит от начального распределения заряда по цепочке. На рис. 7 представлен пример движения заряда по цепочке из начального поляронного состояния вида (6). Посмотрим, как ведет себя в поле заряд, находящийся на одном сайте. Поместим заряд на один сайт в центре цепочки. На рис. 8 показано распределение такого разряда по цепочке в отсутствие электрического поля. Прямая линия в центре графика показывает заряд величиной в единицу в центре цепочки при левой шкале 0.12. Хорошо видно, как заряд быстро растекается по всей цепочке, отражается от концов цепочки и постепенно распределяется равномерно по цепочке.

Совершенно по-другому распределяется по цепочке единичный заряд в электрическом поле. На рис. 9 показан следующий пример. В начальный момент времени заряд находится на одном сайте в центре цепочки, поле включается мгновенно в начальный момент времени,



**Рис. 7.** Графики функций  $|b_n(\tilde{t})|^2$  и  $X(\tilde{t})$  при  $\kappa = 1$ ,  $\eta = 1.276$ ,  $\omega = 1$ ,  $\omega' = 1$ , значение напряженности электрического поля  $E = 0.03$ , для (безразмерного) времени  $\tilde{t} = 1200$ . Длина цепочки  $N = 701$  сайтов.



**Рис. 8.** Графики функции  $|b_n(\tilde{t})|^2$  и  $X(\tilde{t})$  при  $\kappa = 1, \eta = 1.276, \omega = 1, \omega' = 1$ , при отсутствии электрического поля для (безразмерного) времени  $\tilde{t} = 1200$ . Длина цепочки  $N = 701$  сайтов. В начальный момент времени заряд находится на одном сайте в центре цепочки,  $u_n^0 = 0$  для всех  $n$ .

значение напряженности электрического поля  $E = 0.03$  такое же, как в примере на рис. 7. Графики функции  $|b_n(\tilde{t})|^2$  показывают, что заряд не растекается по всей цепочке, как при отсутствии поля.

Начальный единичный заряд сначала растекается в обе стороны от центра цепочки, но локализуется электрическим полем в пределах примерно по одной максимальной блоховской амплитуде в обе стороны от центра цепочки. Далее заряд движется, осциллируя по цепочке, с периодом колебаний близким к блоховскому периоду для заданного значения напряженности электрического поля  $E = 0.03$ . Характер и скорость движения в этом случае значительно отличаются от показанных в примере на рис. 7.

Численное моделирование показывает, что характер движения и скорость заряда в поле сильно зависят от характерного размера как начального распределения заряда в цепочке, так и от характерного размера устоявшегося полярона в цепочке при заданных параметрах. В примерах на рис. 7 и 9 показаны отличия в распределении заряда по цепочке при колебательном режиме движения в зависимости от начального распределения.

Для  $\kappa > 1$  (при  $\eta = 1.276$ ) существует возможность при одинаковых параметрах цепочки и одном и том же напряжении электрического поля получить и равномерное движение заряда и колебательное в зависимости от начального распределения заряда, например, изменяя

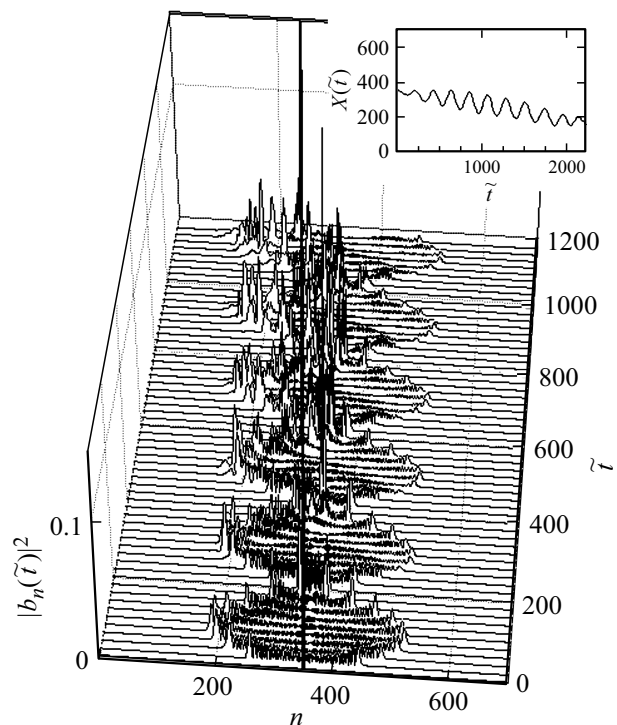
начальное распределение вида (6). Возьмем начальные значения  $|b_n(0)|$  в виде растянутого обратного гиперболического косинуса:

$$|b_n(0)| = \frac{\sqrt{2}}{4} \sqrt{\frac{\kappa}{\xi|\eta|}} \operatorname{ch}^{-1}\left(\frac{\kappa(n-n_0)}{4\xi|\eta|}\right), \quad (11)$$

$\xi$  — коэффициент растяжения.

Возьмем такое значение напряженности электрического поля  $E$ , при котором существует равномерное движение заряда при начальных значениях  $|b_n(0)|$  в виде нерастянутого обратного гиперболического косинуса вида (6). При выбранном значении  $E$  будем постепенно увеличивать или уменьшать значение  $\xi$ . В зависимости от выбранных параметров, до некоторого значения  $\xi$  ( $\xi \neq 1$ ), начальный растянутый обратный гиперболический косинус вида (11), несмотря на воздействие поля, достаточно быстро принимает форму нерастянутого обратного гиперболического косинуса вида (6) (или устоявшегося распределения заряда). В этом случае заряд, после небольших колебаний в начальное время, далее движется по цепочке равномерно.

Если значение  $\xi$  взято достаточно отличающимся от единицы (для выбранного значения  $E$ ), то заряд теряет свою первоначальную форму и, осциллируя, движется по цепочке по направлению поля. В этом случае движение заряда может быть аналогичным движению заряда для случая, описанного выше, а именно, когда начальное



**Рис. 9.** Графики функции  $|b_n(\tilde{t})|^2$  и  $X(\tilde{t})$  при  $\kappa = 1, \eta = 1.276, \omega = 1, \omega' = 1$ , значение напряженности электрического поля  $E = 0.03$  для (безразмерного) времени  $\tilde{t} = 1200$ . Длина цепочки  $N = 701$  сайтов. В начальный момент времени заряд находится на одном сайте в центре цепочки,  $u_n^0 = 0$  для всех  $n$ .

распределение взято в виде нерастянутого обратного гиперболического косинуса вида (6), но величина напряженности электрического поля  $E$  превышает значения, при которых существует равномерное движение заряда. Мы написали „может быть аналогичным“, так как характер распределения заряда может заметно изменяться в зависимости от параметров цепочки.

## Выводы

Мы рассмотрели моделирование равномерного движения заряда для следующих значений параметров цепочки:  $\kappa = 1$ ,  $\eta = 1.276$ . При выбранных значениях параметров существует возможность движения заряда с постоянной скоростью по направлению поля в цепочке, сохраняя свою форму. Такое равномерное движение и достаточно хорошее (рис. 4) соответствие „теоретической“ и численной зависимостей скорости заряда  $V$  от напряженности внешнего электрического поля  $E$  обусловлено тем, что при таких параметрах цепочки характерный размер полярона в цепочке  $\lim_{\tilde{r} \rightarrow \infty} d(\tilde{r}) \approx 15$ , это широкий полярон, располагается на достаточно большом количестве сайтов.

При увеличении  $\kappa > 1$  (для  $\eta = 1.276$ ) устоявшееся поляронное распределение заряда становится „уже“. Вследствие этого, при  $\kappa = 2$  и более становятся хорошо заметны колебания Пайерлса–Набарро, обусловленные дискретностью решетки [20]. Таким образом, при  $\kappa \geq 2$  равномерное движение заряда носит слабо колебательный характер, при котором форма заряда сохраняется „в периоде“.

Вычисления показывают, что равномерное движение заряда при  $\kappa = 2$  и 3 существует, так же как и для  $\kappa = 1$ . А именно равномерное движение заряда возможно только в интервале  $E < E_{\max - \text{numerical}}(\omega')$ . Для  $E > E_{\max - \text{numerical}}(\omega')$  равномерного движения заряда не наблюдается, начальная форма распределения заряда „разваливается“, заряд, совершая колебательные движения с блоховским периодом, движется по цепочке по направлению поля, причем в начале движения амплитуда колебаний заряда близка к максимальной блоховской амплитуде колебаний.

Однородной последовательности из  $PolyG/PolyC$  нуклеотидных пар соответствуют следующие значения безразмерных параметров: константа связи  $\kappa = 4$ , матричные элементы перехода частицы с одного сайта на другой —  $\eta = 1.276$ , см. [23,24]. Таким параметрам соответствует устоявшееся поляронное распределение заряда [25] располагающееся всего на нескольких сайтах, т.е. очень „узкий пик“. В связи с этим возникают сложности при моделировании равномерного движения заряда в такой цепочке. Например, для  $\omega = 1$  и  $\omega' = 1$  находится одно значение  $E = 0.09$ , при котором заряд движется с постоянной скоростью по направлению поля в цепочке, совершая небольшие колебания и сохраняя

свою форму. При малых значениях напряженности электрического поля  $E < 0.09$  заряд совсем не движется (стоит на месте), а при увеличении  $E > 0.09$  заряд „разваливается“ и, совершая колебательные движения, движется по цепочке по направлению поля. Как и в ранее рассмотренных случаях, эти колебания соответствуют блоховским колебаниям.

Ранее в работе [26] нами были рассмотрены примеры блоховских осцилляций в модели Холстейна в зависимости от различных значений параметра  $\kappa$ . Аналогичные результаты были получены позже в работе [27] при исследовании блоховских осцилляций в модели Пейрарда–Бишопа–Холстейна. Кроме описанных здесь вариантов движения и распределения заряда по цепочке, в работе [28] была показана возможность неравновесного движения заряда в  $PolyG/PolyC$  цепочке ДНК.

Из проведенных расчетов следует, что в рассматриваемой системе могут реализоваться сложные динамические режимы, зависящие от выбранных параметров системы: от частоты, от коэффициента трения, от длины цепочки, от характерного размера устоявшегося полярона в цепочке, который обусловлен безразмерными параметрами связи электрона и решетки в цепочке. При фиксированных параметрах системы, изменяя только начальное распределение заряда и величину напряженности электрического поля, можно наблюдать самые разнообразные режимы движения и распределения заряда в цепочке.

Работа выполнена с использованием вычислительных ресурсов Межведомственного суперкомпьютерного центра Российской академии наук (МЦЦ РАН).

Работа поддержана проектами РФФИ № 16-07-00305, РНФ № 16-11-10163.

## Список литературы

- [1] Davydov A.S. // J. Theor. Biology. 1973. Vol. 38. P. 559–569.
- [2] Davydov A.S. // J. Theor. Biology. 1977. Vol. 66. P. 379–387.
- [3] Davydov A.S. // Solitons in Molecular systems. Reidel Publ. Comp., Boston, USA, 1985. 413 p.
- [4] Scott A.C. // Phys. Rep. 1992. Vol. 217. N 1. P. 1–67.
- [5] Lakhno V.D. // Int. J. Quantum Chem. 2008. Vol. 108. P. 1970–1981.
- [6] Nanobioelectronics — for Electronics, Biology and Medicine. Eds. A. Offenhausser. Rinald N.Y.: Springer, 2009.
- [7] Storm A.J., Van Noort J., De Vries S., Dekker C. // Appl. Phys. Lett. 2001. Vol. 9. P. 3881–3883.
- [8] De Pablo P.J., et al. // Phys. Rev. Lett. 2000. Vol. 85. P. 4992–4995.
- [9] Fink H.W., Schönenberger C. // Nature. 1999. Vol. 398. P. 407–409.
- [10] Okahata Y., Kobayashi T., Tanaka K., Shimomura M. // J. Am. Chem. Soc. 1998. Vol. 120. P. 6165–6166.
- [11] Porath D., Bezryadin A., De Vries S., Dekker C. // Nature. 2000. Vol. 403. P. 635–638.
- [12] Cai L., Tabata H., Kavai T. // Appl. Phys. Lett. 2000. Vol. 77. P. 3105–3106.

- [13] Yoo K.-H., et al. // Phys. Rev. Lett. 2001. Vol. 87. P. 198102.
- [14] Kasumov A.Y., et al. // Science. 2001. Vol. 291. I. 5502. P. 280–282.
- [15] Chepeliaskii A. et al. // New J. Phys. 2011. Vol. 13. P. 063046.
- [16] Lakhno V.D. Davydov's Solitons in DNA, Chapter in „Self-Organization of Molecular Systems — From Molecules and Clusters to Nanotubes and Proteins“. Eds. N. Russo, V.Ya. Antonchenko, E. Kryachko. Springer, 2009. P. 255-273.
- [17] Lakhno V.D. // J. Biol. Phys. 2000. Vol. 26. P. 133–147.
- [18] Holstein T. // Ann. Phys. 1959. Vol. 8. P. 343–389.
- [19] Lakhno V.D. // Int. J. Quant. Chem. 2010. Vol. 110. P. 127–137.
- [20] Lakhno V.D., Korshunova A.N. // Eur. Phys. J. B. 2011. Vol. 79. P. 147–151.
- [21] Кориунова А.Н., Лахно В.Д. // Математическая биология и биоинформатика. 2016. Т. 11. Вып. 2. С. 141-158.
- [22] Кориунова А.Н., Лахно В.Д. // Математическая биология и биоинформатика. 2017. Т. 12. Вып. 1. С. 204-223.
- [23] Voityuk A.A., Rösch N., Bixon M., Jortner J. // J. Phys. Chem. B. 2000. Vol. 104. N 41. P. 9740–9745.
- [24] Jortner J., Bixon M., Voityuk A.A., Rösch N. // J. Phys. Chem. B. 2002. Vol. 106. P. 7599–7606.
- [25] Lakhno V.D., Korshunova A.N. // Mathematical biology and bioinformatics. 2010. Vol. 5. N 1. P. 1–29.
- [26] Lakhno V.D., Korshunova A.N. // Eur. Phys. J. B. 2007. Vol. 55. P. 85–88.
- [27] Díaz E., Lima R.P.A., Domínguez-Adame F. Phys. Rev. B. 2008. Vol. 78. P. 134303.
- [28] Korshunova A.N., Lakhno V.D. // Physica E. 2014. Vol. 60. P. 206–209.